

# フィルターユニットの形状決定理論と水理設計への応用

池 谷 豪\*

フィルターユニット(FU)の形状を決定する基礎方程式を、膜材の力の吊り合い式、脚の交差角の変化を考慮に入れた網地の変形関係を基に導出した。得られた基礎方程式は、非線形方程式であり、境界条件はFUの底部と頂部の2点で与えられることから、数値計算手法を繰り返し適用して解を求めた。解析結果を実測データと比較した結果、FUの特長的な形状を良好に再現できることができた。また、この理論から、力学的に相似なFUを製作するために網地に求められる条件、網地の存在が中詰材の移動を拘束する効果について検討し、考察を加えた。

## 1. 序論

フィルターユニット(写真-1参照、以下FUと略す)とは、網袋に碎石や玉石等の粒状体を詰めた水工資材のことであり、碎石中詰め合成繊維網袋、碎石中詰袋体などと呼ばれることがある。FUは、可撓性を有するため、水底面とのなじみが良く、適度な透水性を有する。このため、主として洗掘防止用のフィルター材、河川護岸の法面被覆材などに適用してきた。FUは施工性にも優れているため、最大7ノット(3.5 m/s)に達する強潮流下において建造された明石海峡大橋主塔基礎の洗掘防止工としても、活用されている(出口、2002)。

これに対して、秋山ら(2001)は、FUを傾斜護岸の被覆材として利用することを目的に水理模型実験を行い、耐波安定性にもすぐれていることを明らかにした。耐波構造物としてFUを用いる場合には、波浪条件に応じて種々の寸法の大型FUを製造する必要がある。しかし、FUは使用材料、使用状況により形状が変化する構造で

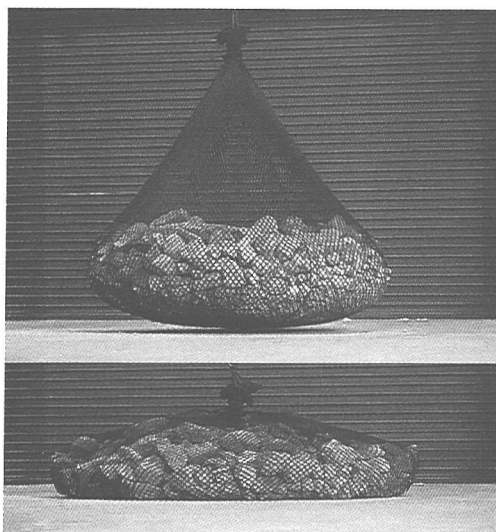


写真-1 FUの概形(上:吊上げ時, 下:設置時)

あるため、形状がばらつきやすい。これらの課題を克服するためには、FUの形状がどのようなメカニズムで決定されるかを知ることが第1歩である。そこで、本研究では、標準的に用いられる丸型のFU(写真-1参照)を対象に、その形状を解析する数学モデルを構築すると同時に、水理設計上必要となる情報をそこから抽出することを目的とした。

## 2. 材料とその特性

FUを構成する要素は、網袋と中詰材である。ここでは、それについて、本研究に関連する事項を述べる。

### 2.1 網材料とその特性

網地の材料としては、麻などに代表される自然繊維やナイロン等の合成繊維が用いられる。一般には、FUの網地としては、強度、耐久性の観点から合成繊維が用いられる。

FUに使用する網の編み方は、以下の2種類が用いられる。

(1) ラッセル網：結節部がレース編による編込みで作成され、安全ネットなどに用いられる

(2) 無結節網：結節部がより合わせにより作成される方法で、防球ネット、ゴルフネットなどに用いられる。本論文では、信頼性、耐久性の面ですぐれるラッセル網を基本対象とする。

### 2.2 網地の構成と網糸の伸び特性

ここで考える網地は、図-1に示すように、繊維を編んで束ねた網糸が結節され網目を構成するものである。結

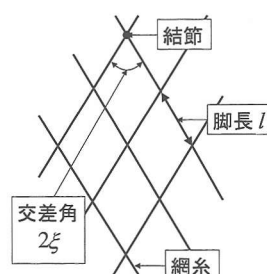


図-1 網の構成要素

節と結節との間を脚と呼び、この長さ(脚長)を  $l$  と書く。

脚と脚との成す角を交差角と呼び、半值を  $\delta$  と書く。

また、網糸の太さは  $d$  と表す。

網糸の張力伸び特性を調べるために、土研センター(1998)に示されている1本の脚に作用する張力  $F$  と伸び  $\delta$  との関係を調べた。ここで、伸び  $\delta$  は伸びる前の脚長を  $l_0$  として、次式で定義される。

$$\delta = l/l_0 - 1 \quad \dots \dots \dots (1)$$

図-2に破断時の最大伸び  $\delta_{\max}$  で無次元化した伸びと最大張力  $F_{\max}$  で無次元化した張力との関係を示す。これを見ると、上記の無次元化により網の太さに関わらず、無次元張力と無次元伸びは、ひとつの関係式で表現できることがわかる。関係は、線型とはいせず、非線形性が顕著である。考えられる近似式を図-2中に示したが、ここでは、解析に使うことを考え、より簡便な以下の式を用いている。

$$\frac{F}{F_{\max}} = \left( \frac{\delta}{\delta_{\max}} \right)^2 \quad \dots \dots \dots (2)$$

### 2.3 中詰材の特性

FUの中詰材としては、粒状体が用いられる。通常用いられるのは、玉石と碎石である。材料を選択する際に最も重要なのは、粒径である。中詰材の最小粒径は、網目から流出しない大きさで規定され、最大粒径は、FUを設置した場合の厚みに対して十分小さい大きさで規定される。すなわち、

$$\text{最小粒径} \quad d_{\min} \geq 2l_0$$

$$\text{最大粒径} \quad d_{\max} \geq 0.1H_{\text{FU}}$$

ここに、 $H_{\text{FU}}$  : FUの設置時の高さである。中詰材の粒径が大きすぎると、FUの形状がごつごつしたものになり、以降の連続体としての取り扱いが適用できなくなる。

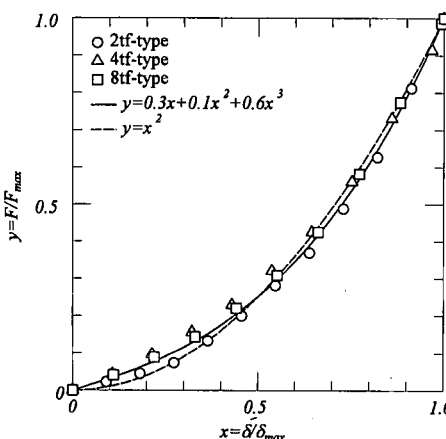


図-2 網脚の伸びと引っ張り力との関係

## 3. FU 形状決定理論

### 3.1 力の吊り合い方程式

網地は、脚の集合体であるから、力学上の取り扱いとしては、網地をケーブルネットとして取り扱うことが最も自然である。しかしながら、FUの場合、網の結節の数は、非常に数が多くなるため、工学的な取り扱いとしてはあまり有効なものとは考えられない。そこで、ここでは網地を膜材として扱い、理論を展開する。網地は、せん断、曲げには抵抗することができず、引っ張りに対してのみ抵抗力を有することから都合が良い。しかし、網はその変形の仕方が通常の膜とは異なることから、変形特性については、別途その特性を考慮する。

丸型のFUは、軸対象であることから、軸対象膜構造物の力の吊り合い方程式を基礎方程式として用いる(例えば、秋山, 1979)。座標系の定義は図-3によるものとする。

$$\frac{d}{ds_1}(T_1 r) - T_2 \cos \theta + p_1 r = 0 \quad \dots \dots \dots (3)$$

$$- T_2 \sin \theta - \frac{T_1 r}{R_1} + p_n r = 0 \quad \dots \dots \dots (4)$$

ここで、 $s_1$ : 子午線方向の網地に沿った座標、 $s_2$ : 緯度円方向の網地に沿った座標、 $T_1$ ,  $T_2$ : それぞれ  $s_1$ ,  $s_2$  方向の網地単位長さあたりの断面力、 $r$ : 緯度円の半径、 $\theta$ : 子午線の傾き、 $p_1$ ,  $p_n$ : それぞれ  $s_1$  方向、法線方向の外力である。

幾何学的な関係から、 $s_1$ ,  $s_2$  方向の曲率半径である  $R_1$ ,  $R_2$  は以下の関係がある。

$$\frac{1}{R_1} = \frac{d\theta}{ds_1} \quad \dots \dots \dots (5)$$

$$\frac{1}{R_2} = \frac{\sin \theta}{r} \quad \dots \dots \dots (6)$$

式(5)を式(4)に代入すると次式を得る。

$$- T_2 \sin \theta - T_1 r \frac{d\theta}{ds_1} + p_n r = 0 \quad \dots \dots \dots (7)$$

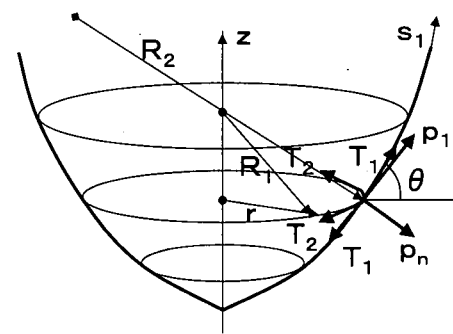


図-3 座標系・記号の定義図

### 3.2 歪・変位関係式

FUの変形は極めて大きいので、大変形まで解析できる理論を用いる必要がある。また、網材の変形は、網の目開き角の変化を考慮して求める。

はじめに、外力が作用していない網地の状態を考える。図-4に示すように、脚の伸びはゼロ、交差角は $2\xi=\pi/2$ であると仮定する。一般に、ラッセル網などでは、結節がわずかな長さを持つため、厳密にこの関係は正しくないが、簡便のため、上記を仮定をする。伸びる前の脚長を $l_0$ 、変形した後の脚長を $l$ 、目開き角を $\xi$ と書けば、伸びる前及び伸びた後の $s_1$ 方向の網地長さは、それぞれ、 $l_0/\sqrt{2}$ 、 $l \cos \xi$ と書ける。これから、伸び変形を考慮した軸対称変形は大変形理論により、次式が得られる。

$$\frac{dr}{ds_1} = \frac{\sqrt{2} l \cos \xi}{l_0} \cos \theta \quad (8)$$

$$\frac{dz}{ds_1} = \frac{\sqrt{2} l \cos \xi}{l_0} \sin \theta \quad (9)$$

また、式(1)、式(2)に示した脚の張力・歪関係を用いれば、伸びた後の脚の長さは容易に算出できる。なお、この式は、伸び変形を考慮した係留索の変形理論と同様の考え方に基づく式である。

また、FU 1周の結節の数を $M$ とすると、FU 1周の長さとの関係から、次式が成り立つ。

$$2\pi r = 2Ml \sin \xi \quad (10)$$

### 3.3 断面力と張力との関係式

網地に作用する断面力と張力との関係を求める。図-5に示す脚の交差点における力の吊り合いより、次式が成り立つ。

$$T_1 = \frac{JF \cos \xi}{l \sin \xi} = \frac{JF}{l \tan \xi} \quad (11)$$

$$T_2 = \frac{JF \sin \xi}{l \cos \xi} = \frac{JF \tan \xi}{l} \quad (12)$$

ここで、 $J$ は、網の多重度とする。多重度とは、ある点の荷重を支える脚数を4で割った数字である。網を2枚

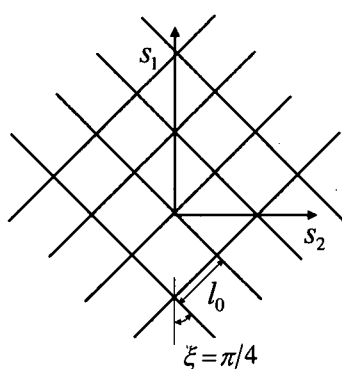


図-4 無応力状態の網地

重ねて使用する場合や、1節点に8本の脚が交差するような網の場合には $J=2$ となる。また、式(11)、(12)より、 $\xi$ を消去すれば、張力と断面力とを結びつける次式を得る。

$$F = \frac{l}{J} \sqrt{T_1 T_2} \quad (13)$$

### 3.4 作用外力モデル

作用外力としては、中詰材の圧力、網材に作用する重力、網材と中詰材との摩擦力などを考慮する必要がある。粒状体と構造物との間の摩擦を考慮する構造物の例として、サイロがある。サイロ壁面に作用する摩擦力は、槽の深さが直径の1.5倍より小さいとき（浅槽の条件）には、土圧分布には影響ないとされる（例えば、日本建築学会、1984）。FUの場合、明らかに浅槽の条件となるので、網材と中詰材との間の摩擦は考えず、土圧のみを外力として考慮する。

中詰材による土圧は、鉛直方向圧力 $p_v$ と水平方向の圧力 $p_h$ が異なる点に特徴があり、以下の式で表現される外力を考える。

$$p_v = p_0 + \rho g (H - z) \quad (14)$$

$$p_h = K \rho v \quad (15)$$

ここに、 $\rho$ ：中詰材のかさ密度、 $g$ ：重力加速度、 $H$ ：中詰材の厚さである。また、 $K$ は土圧係数であり、Rankine 土圧式により以下のように評価する。

$$K = K_a = \frac{1 - \sin \phi_i}{1 + \sin \phi_i} \quad \text{主動状態} \quad (16)$$

$$K = K_p = \frac{1 + \sin \phi_i}{1 - \sin \phi_i} \quad \text{受動状態} \quad (17)$$

ここに、 $\phi_i$ は、内部摩擦角である。中詰材の状態により土圧計数を使い分けることができる。また、 $K=1$ とすると、等方的な静水圧状態を表現することができる。

$p_v$ 、 $p_h$ は、それぞれ $s_1$ 方向、法線方向の外力であるから、作用面の傾斜を考慮して、鉛直、水平圧力から換算すると、次式が得られる。

$$p_n = p_v (\cos^2 \theta + K \sin^2 \theta) \quad (18)$$

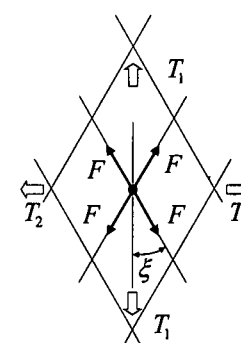


図-5 結節における力の吊り合い



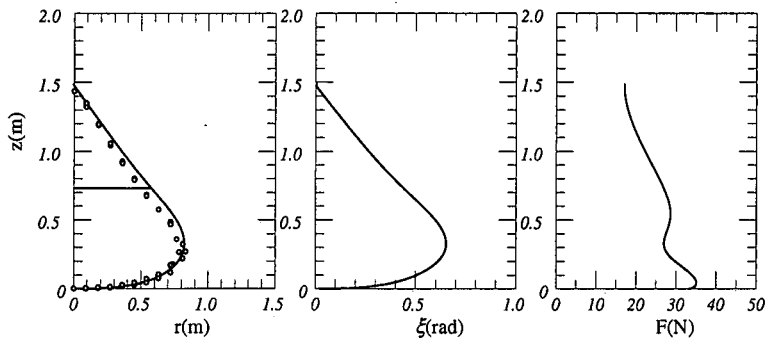


図-7 計算されたFUの形状(吊り上げ状態)

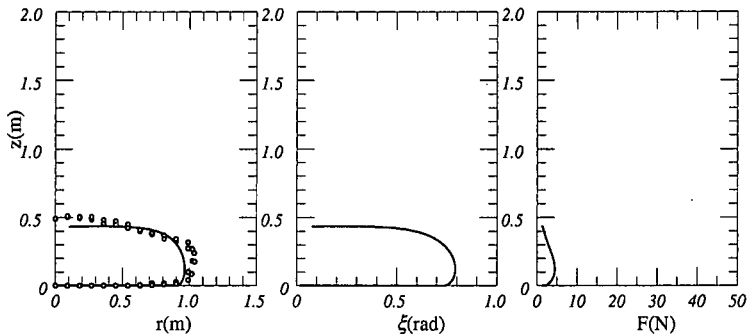


図-8 計算されたFUの形状(設置状態)

する式(2), 式(10), 式(13)以外の式は、フルード相似則を用いれば相似性が満足される。そこで、式(2), 式(10), 式(13)を用いて、FUの形状を相似に保つための網を決定する法則を導く。

フルード相似則の幾何縮尺を  $\lambda_r$  とする。また、多重度、脚長、目数、網直径の縮尺をそれぞれ  $\lambda_j$ ,  $\lambda_l$ ,  $\lambda_M$ ,  $\lambda_d$  と書く。式(10)より、

$$\lambda_M \lambda_l = \lambda_r \quad \dots \dots \dots (21)$$

なる関係式が得られる。また、網脚の強度が網糸の直径の二乗に比例すると仮定すると、式(2), 式(13)から、次式が得られる。

$$\lambda_d^2 = \lambda_l \lambda_j^{-1} \lambda_r^2 \quad \dots \dots \dots (22)$$

式(21)と式(22)が力学的に相似なFUを製作するため、網に求められる法則である。もし、多重度、目数を変化させないのであれば、さらに簡便に、

$$\lambda_l = \lambda_r, \quad \lambda_d = \lambda_r^{3/2} \quad \dots \dots \dots (23)$$

なる関係となる。例えば、多重度と目数を変化させない場合、FUの重量を8倍(直径を2倍)にしようすれば、脚長を2倍、網糸直径を  $2\sqrt{2}$  倍すれば、力学的な相似性が保たれることになる。

## 6.2 中詰材の安定化効果

FUを耐波構造物に適用する場合、中詰材が繰り返し

移動することにより、網材が磨耗劣化する可能性がある。ここでは、網が中詰材の移動を抑止する効果について考察する。網が中詰材を拘束する力は  $\rho_n$  で表現される。式(4), 式(5), 式(6)から、 $\rho_n$  と断面力、曲率半径との関係を表す次式が得られる。

$$P_n = \frac{T_2}{R_2} + \frac{T_1}{R_1} \quad \dots \dots \dots (24)$$

この式で、中詰材の移動を抑止するために、網材法線方向の力  $\rho_n$  を大きくするためには、網材に作用する断面力を大きくするか、曲率半径を小さくすることが重要であることがわかる。

## 7. 結論

膜理論と大変形理論を用いて、FUの形状決定理論を導いた。吊上げ時、設置時の形状を解析し、計測結果と比較した結

果、中詰材の土圧の評価式が形状に大きな影響を与えることがわかった。

また、相似な形状を作成するための網地の相似則について考察を加えた。さらに、中詰材の移動を抑止するための方策を示した。

謝辞：ラッセル網の伸び特性については、キヨーワ株式会社より貴重なデータの提供を受けた。ここに感謝の意を表します。

## 参考文献

- 秋山真吾・池谷毅・今藤久夫・高橋忍・石川芳一(2001)：フィルターユニットで被覆した網傾斜護岸の耐波安定性、海洋開発論文集、Vol. 17, pp. 406-410.
- 秋山成興(1979)：弾性体の力学、新体系土木工学、第6巻、土木学会編、技報堂出版、340 p.
- 財団法人土木研究センター(1998)：袋型根固め工用袋材、キヨーワ式フィルターユニットI型・II型、審査証明依頼者：キヨーワ株式会社、民間開発建設技術の技術審査・証明申請認定規程に基づく土木系材料技術・技術審査証明報告書、技審証第1003号、54 p.
- 出口一郎(2002)：フィルターユニット(碎石中詰め合成繊維網袋)、土木学会誌、87巻、4号、pp. 44-47.
- 中村充(1974)：沿岸漁場の開発と防災、水工学シリーズ74-B-5、土木学会水理委員会、28 p.
- 日本建築学会(1984)：容器構造設計指針案・同解説、日本建築学会。